

滨海盐土灌水脱盐动态的土壤质地和水质差异性研究

张余良¹, 王正祥¹, 廉晓娟¹, 贺宏达¹, 王艳¹, 宿晓东¹, 郭富常²,
黄明达³, 屈晓芳⁴

(1.天津市农业资源与环境研究所,天津 300192; 2.天津大学,天津 300072; 3.天津泰达园林建设有限公司,天津 300457; 4.冀东油田开发技术公司,河北 唐山 063200)

摘要:通过在天津滨海新区的野外灌水脱盐试验,对比分析了灌溉淡水、中水和微咸水的中壤质、重壤质土和粘土土壤含盐量及 pH 的动态变化。结果表明,粘质滨海盐土经灌淡水后的土壤全盐量降低是逐渐的;重壤质滨海盐土的土壤全盐变化趋势与粘质土相似,最初 4 次灌水使各层土壤全盐累积降幅较大;中壤质滨海盐土则第一次灌水后土壤含盐量降低较多,表层(0~20 cm)由 1.75% 降到 0.511%,以后灌溉土壤全盐量降低得较缓慢,20~40 cm 土层的含盐量始终降低得较缓慢。灌溉淡水、中水、微咸水均能使土壤全盐量降低,灌溉中水、微咸水后表层和土体下层土壤的含盐量均逐渐降低,而灌溉淡水的表层土壤全盐量以初次降低明显,土体下层的土壤全盐量始终变化幅度较小。同灌淡水的情况下,中壤质滨海盐土的土壤 pH 较为稳定,在 7.5~8.5 范围,而重壤质和粘土在最初表现下降,至约 7.5 后上升到 8.5~9.0 范围,质地越粘土壤 pH 越高。灌溉淡水、中水、微咸水均使土壤 pH 有升高的趋势,灌溉淡水后表层土壤 pH 能够上升到 9.0,灌溉微咸水、中水后土壤 pH 能够升高至 8.5 左右。

关键词:滨海盐土; pH; 土壤质地; 土壤全盐; 微咸水; 中水; 天津滨海新区

中图分类号:X53 文献标志码:A 文章编号:1672-2043(2010)03-0515-06

Desalting Dynamic State Diversity of Coastal Solonchak Soils Differed in Soil Texture and Irrigated with Varied Water Quality

ZHANG Yu-liang¹, WANG Zheng-xiang¹, LIAN Xiao-juan¹, HE Hong-da¹, WANG Yan¹, SU Xiao-dong¹, GUO Fu-chang², HUANG Ming-da³, QU Xiao-fang⁴

(1.Tianjin Institute of Agriculture Resources and Environment, Tianjin 300192, China; 2.Tianjin University , Tianjin 300072,China; 3.Tianjin TEDA Landscape Construction Development Co. Ltd., Tianjin 300457,China; 4.The Technical Development Co. of Eastern Hopei Oil Field, Tangshan 063200, China)

Abstract:The field experiments of irrigation with fresh water, recycled water, brackish water were carried out on coastal solonchak soil in Tianjin Binhai new developed area, Contrasted and analyzed the dynamic state variety of soil salt content and pH in clay soil, heavy loamy soil, and medium loamy soil. The results showed that soil salt content in clay soil and heavy loamy soil lowered gradually after irrigating fresh water, while soil salt content in medium loamy soil reduced more rapidly after the first time irrigating with the fresh water. especially, that in surface layer(0~20 cm), was declined to 0.511% from 1.75%, then after, it lowered rather slowly with additional irrigation. The salt content in 20~40 cm layer of all three soils was declined slowly all the time. Salt content of both surface layer and lower layers of medium loamy soil was declined gradually all the time on the condition of irrigating both recycled water and brackish water. Irrigating fresh water, recycled water, brackish water all made the trend that soil pH increased as soil salt content decreased. Soil pH of the surface layer soil achieved 9.0 after irrigating the fresh water, while pH of the surface layer soil finally went up to 8.5 or so after irrigating the brackish water or the recycled water.

Keywords:coastal solonchak soil; pH; soil texture; soil salt content; brackish water; recycled water; Tianjin Binhai new area

滨海盐碱地由于盐碱造成土壤物理性状恶化、土壤盐渍化程度高,淡水资源缺乏等,这些因素都严重影响到滨海地区的湿地生态恢复和绿化建设,以及绿化植物的成活率^[1]。滨海地区盐碱地上植树绿化、生态恢复面临的技术问题之一就是盐碱荒地直接栽植的成活率低,提高绿化植物在滨海盐土和重度盐渍化土地的成活率,快速脱除土壤盐分是关键。

目前盐碱地土壤改良一般采用水利技术^[2-3]、化学改良、生物改良、利用盐生植物降盐,抑制蒸腾等。主要以盐碱地改良工程技术控制和降低地下水位在临界深度以下,防止下层土壤盐分返至表层。对于已经积聚在土壤中的盐采用蓄淡压盐、灌水洗盐、地下排盐等工程改良和土壤改造,另外降水配合灌溉淡水冲淋表土中溶解的盐碱在滨海盐碱地上应用均取得了一定的效果^[4-5]。

沿海地区淡水资源缺乏,地下微咸水($2\sim 5 \text{ g}\cdot\text{L}^{-1}$)、咸水(大于 $5 \text{ g}\cdot\text{L}^{-1}$)资源丰富,例如天津滨海新区的浅层水矿化度为 $5\sim 20 \text{ g}\cdot\text{L}^{-1}$ ^[6-7]。如果将地下微咸水或咸水充分利用起来,可大量节约淡水^[8-14]。传统认为直接利用微咸水或咸水进行灌溉,会造成盐分在土壤表层和土体各层积聚,而使土壤进一步盐碱化,造成土壤物理性状恶化,例如土壤团粒结构差,结构粘滞、板结,渗透系数低、渗水困难,通气性差,土温上升慢,土壤pH高等,也同样直接危害植物^[14-17]。为比较灌溉淡水、中水(经过处理而达到一定标准的生活污水)、微咸水(矿化度 $2\sim 5 \text{ g}\cdot\text{L}^{-1}$)对土壤脱盐的动态差异,进行本项研究。本文主要研究滨海地区盐碱地分别灌溉淡水、中水和微咸水后土壤全盐、土壤pH的变化动态,以及灌溉淡水的不同质地土壤全盐、土壤pH的变化动态。

1 材料和方法

中水为生活污水处理厂处理并排出的水,矿化度 $2.65 \text{ g}\cdot\text{L}^{-1}$,pH 8.17;淡水为自来水,矿化度 $0.870 \text{ g}\cdot\text{L}^{-1}$,pH 8.15;微咸水为中水与当地地表水混合水,矿化度

$4.725 \text{ g}\cdot\text{L}^{-1}$,pH 8.22,参考表1。

表1 试验灌溉用水的基本性状

Table 1 Basic characters of water irrigated in experiment

| 灌溉水 | 盐分/cmol·kg ⁻¹ | | | | | | 矿化度/g·L ⁻¹ | pH |
|-----|---------------------------------|------------------|------------------|-------------------------------|-------------------------------|-----------------|-----------------------|------------|
| | K ⁺ +Na ⁺ | Ca ²⁺ | Mg ²⁺ | CO ₃ ²⁻ | HCO ₃ ⁻ | Cl ⁻ | | |
| 中水 | 42.12 | 12.78 | 14.66 | 0.23 | 9.72 | 26.00 | 33.84 | 2.650 8.17 |
| 淡水 | 14.79 | 0.40 | 0.25 | 1.52 | 5.86 | 8.01 | 0.05 | 0.870 8.15 |
| 微咸水 | 49.03 | 11.00 | 23.28 | 0.22 | 10.11 | 62.79 | 10.19 | 4.725 8.22 |

灌溉淡水、中水、微咸水降盐的试验地分别位于天津滨海新区范围内的大港、塘沽,供试土壤均为滨海盐土,参考表2。用地方式为待绿化,试验期间(2007年1月至2008年6月)的累积降水量为538.5 mm(雨量器法),2007年降水量为389.7 mm(源自:《2008年中国统计年鉴》)。

灌水前进行土壤改造:每隔15 m开挖深60 cm排盐沟,沟内填充高15~30 cm、宽30 cm的碎石等成孔物料,物料内埋设直径6 cm的可透入水的多孔塑料螺纹空心管,多孔物料上覆盖两层无纺布,再覆盖5 cm厚粗砂,上复位原土至与地面平,成为地下排盐通道。各通道与垂直的汇集通道相通,汇集通道120 cm深,沟内同样填充高30 cm、宽30 cm的碎石等成孔物料,其中不埋设透水的空心管道,上覆盖两层无纺布,再覆盖5 cm厚粗砂,复位原土。地表30 cm土层中均匀施入硫酸钙、过磷酸钙和腐熟有机肥混合而成为有机肥,混合比例为硫酸钙、磷酸钙各占10%,腐熟有机肥占90%,在9至10月份施用1次,3至5月份施用1次。施用量为每次 $75\sim 150 \text{ m}^3\cdot\text{hm}^{-2}$,即0.0075~0.0150 m³·m⁻²。

灌溉方法(试验3种水的灌溉方法相同):每年2月至6月灌溉4~5次,每次的灌水量分别为 $0.10\sim 0.15 \text{ m}^3\cdot\text{m}^{-2}$,两次灌水间隔时间为10~30 d,视土壤含水情况,土壤粘重间隔时间适当延长。灌溉降盐试验时间为2007年1月至2008年6月。

表2 供试土壤的基本性状

Table 2 Basic characters of soil for experiment

| 试验土壤 | | 土壤全盐/% | | | 土壤pH | | |
|---------|---------|---------|----------|----------|---------|----------|----------|
| 项目 | 土壤类型 | 0~20 cm | 20~40 cm | 40~60 cm | 0~20 cm | 20~40 cm | 40~60 cm |
| 中水灌溉土壤 | 中壤质滨海盐土 | 3.26 | 1.06 | 1.52 | 8.20 | 8.57 | 8.07 |
| 淡水灌溉土壤 | 中壤质滨海盐土 | 1.758 | 0.63 | 0.579 | 7.55 | 8.12 | 8.3 |
| | 重壤质滨海盐土 | 1.64 | 1.81 | 1.69 | 8.04 | 8.11 | 8.12 |
| | 粘质滨海盐土 | 2.26 | 2.41 | 2.21 | 7.6 | 7.68 | 7.7 |
| 微咸水灌溉土壤 | 中壤质滨海盐土 | 3.26 | 1.06 | 1.52 | 8.20 | 8.57 | 8.07 |

试验采用田间小区方式,每一小区的面积为15 m×4 m,小区之间以埋深60 cm的塑料布相隔。

2 结果与讨论

2.1 灌溉中水后土壤脱盐动态

2.1.1 灌溉中水后土壤全盐的变化动态

中壤质土经过一次灌水后,表层(0~20 cm)土壤含盐量即从3.26%降低到0.62%,参见图1,降低80.98%,连续灌溉4次后土壤全盐为0.30%,再增加灌溉次数土壤全盐量稳定在0.2%~0.4%范围。20~40 cm土壤含盐量经过一次灌水后,从1.06%降低到0.74%,降低30.19%,连续灌溉4次后土壤全盐为0.45%,再增加灌溉次数土壤全盐量稳定在0.2%~0.5%范围。40~60 cm土壤含盐量经过一次灌水后,即从1.52%降低到0.76%,降低50.00%,连续灌溉4次后土壤全盐为0.45%,再增加灌溉次数土壤全盐量稳定在0.2%~0.4%范围。

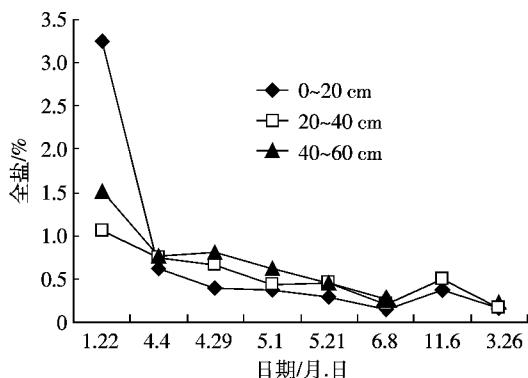


图1 中水灌溉后中壤质滨海盐土土壤全盐变化

Figure 1 Changes of soil salt content in medium loamy coastal solonchak soil after irrigating recycled water repeatedly

2.1.2 灌溉中水后土壤pH的变化动态

中壤质土经过5月前的3次灌水,表层(0~20 cm)土壤pH随灌水次数增加土壤pH降低,3次灌水后土壤pH即从8.20降低到8.11,参见图2,降低1.09%,连续灌溉4次后土壤pH随灌水次数增加逐渐提高,灌水后第8次(3月26日)监测土壤pH增加到8.65,较原始状态增加5.49%。前3次灌水,20~40 cm土壤pH随灌水次数增加土壤pH降低,3次灌水后土壤pH即从8.57降低到7.52,降低12.25%,连续灌溉4次后土壤pH随灌水次数增加逐渐提高,第8次灌水后土壤pH增加为8.99,较原始状态增加4.90%。前3次灌水,40~60 cm土壤pH随灌水次数增加土壤pH也有降低趋势,3次灌水后土壤pH即从

8.07降低到7.99,降低0.99%,降低不明显,连续灌溉4次后土壤pH随灌水次数增加逐渐提高,第8次灌水后土壤pH增加为8.87,较原始状态增加9.91%。

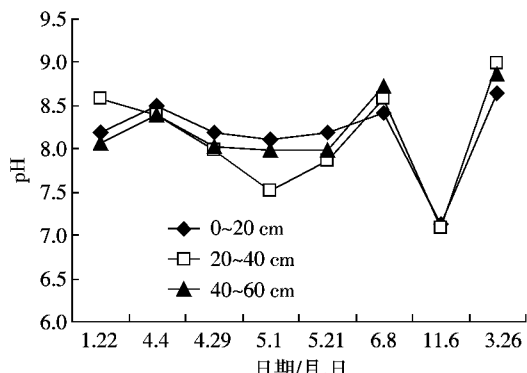


图2 中水灌溉后中壤质滨海盐土土壤pH变化

Figure 2 Changes of soil pH value in medium loamy coastal solonchak soil after irrigating recycled water repeatedly

2.2 灌溉淡水后土壤脱盐动态

2.2.1 中壤质滨海盐土灌溉淡水后土壤盐渍状况的变化动态

(1) 土壤全盐的变化动态

表层(0~20 cm)土壤含盐量经过一次灌水后,即从1.75%降低到0.511%,参见图3,降低70.80%,连续灌溉4次后土壤全盐为0.66%,再增加灌溉次数土壤全盐量稳定在0.4%~0.5%范围。20~40 cm土壤含盐量经过一次灌水后,从0.63%降低到0.474%,降低24.76%,连续灌溉4次后土壤全盐为0.53%,再增加灌溉次数土壤全盐量稳定在0.5%~0.6%范围。40~60 cm土壤含盐量经过一次灌水后,即从0.579%降低到0.464%,降低19.86%,连续灌溉4次后土壤全盐为0.53%,再增加灌溉次数土壤全盐量稳定在0.6%上下。

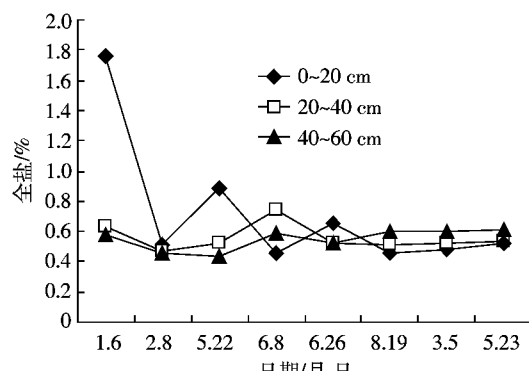


图3 淡水灌溉后中壤质滨海盐土土壤全盐变化

Figure 3 Changes of soil salt content in medium loamy coastal solonchak soil after irrigating fresh water repeatedly

表层(0~20 cm)土壤含盐量经第一次灌水后降低较多,以后再灌溉土壤含盐量变化幅度较小,有时还略有增加;20~40 cm 土层、40~60 cm 土层的土壤含盐量较为稳定。

(2) 土壤 pH 的变化动态

表层(0~20 cm)土壤经过一次灌水后,pH 即从 7.55 增加到 8.41,参见图 4,增加 11.39%,连续灌溉 4 次后土壤 pH 为 7.85。20~40 cm 土壤 pH 经过一次灌水后,从 8.12 增加到 8.38,提高 3.20%,连续灌溉 4 次后土壤 pH 为 8.18,再增加灌溉次数土壤 pH 稳定在 8.20 左右。40~60 cm 土壤 pH 经过一次灌水后,即从 8.3 增加到 8.40,增加 1.20%,连续灌溉 4 次后土壤 pH 为 8.20,再增加灌溉次数土壤 pH 稳定在 8.20 上下。

表层(0~20 cm)土壤 pH 经第一次灌水后增加较多,以后再灌溉土壤 pH 变化幅度总体上较小,有时还略有降低;20~40 cm 土层、40~60 cm 土层的土壤 pH 较为稳定。

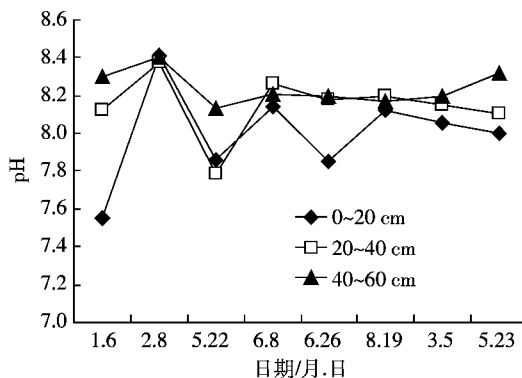


图 4 淡水灌溉后中壤质滨海盐土土壤 pH 变化

Figure 4 Changes of soil pH value in medium loamy coastal solonchak soil after irrigating fresh water repeatedly

2.2.2 重壤质土灌溉淡水后土壤盐渍状况的变化动态

(1) 土壤全盐的变化动态

重壤质土中含有大量的贝壳碎体,有浅位薄层夹砂。灌溉淡水后,各层次土壤全盐量均呈逐渐降低的趋势,参见图 5。4 次灌水后,土壤全盐量分别由 1.64%、1.81%、1.69% 降低到 0.70%、1.03%、0.67%,分别降低了 57.32%、43.09%、60.36%。5 月底停止灌水后土壤全盐量有所回升,7 月雨季 3 层土壤全盐分别为 0.43%、0.64%、0.57%。第 2 年春天经两次灌水后,表层(0~20 cm)、20~40 cm、40~60 cm 3 层的土壤全盐量均稳定在 0.4%~0.6% 范围。

(2) 土壤 pH 的变化动态

灌溉淡水后,各层次土壤 pH 均呈逐渐缓慢降低

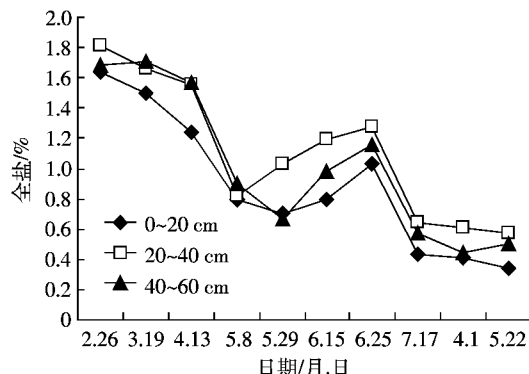


图 5 淡水灌溉后重壤质滨海盐土土壤全盐变化

Figure 5 Changes of soil salt content in heavy loamy coastal solonchak soil after irrigating fresh water repeatedly

的趋势,4 次灌水后,土壤 pH 分别由 8.04、8.11、8.12 改变到 8.33、7.83、7.43,分别改变了 3.67%、-3.45%、-8.50%,参见图 6。5 月底停止灌水后土壤 pH 有所回升,7 月雨季 3 层土壤 pH 分别为 8.34、8.12、8.29。第 2 年春天经 2 次灌水后,表层(0~20 cm)、20~40 cm、40~60 cm 3 层的土壤 pH 均有所增加,分别增加到 8.73、8.65、8.61,增加幅度分别为 8.58%、6.66%、6.03%。

前 4 次灌水土壤 pH 变化在 7.5~8.5 之间,雨季和第 2 年春天继续灌水后土壤 pH 上升至 8.5 以上。

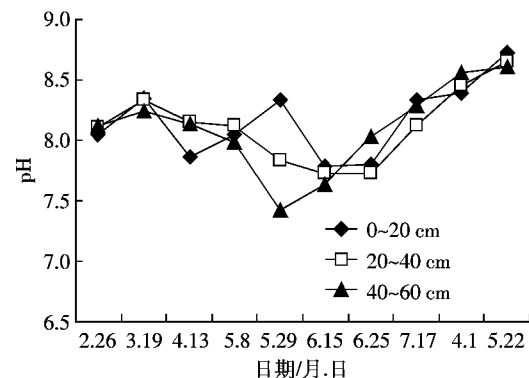


图 6 淡水灌溉后重壤质滨海盐土土壤 pH 变化

Figure 6 Changes of soil pH value in heavy loamy coastal solonchak soil after irrigating fresh water repeatedly

2.2.3 粘质滨海盐土灌溉淡水后土壤盐渍状况的变化动态

(1) 土壤全盐的变化动态

表层(0~20 cm)土壤含盐量经过 4 次灌水后,即从 2.26% 降低到 0.68%,参见图 7,降低 69.91%,再增加灌溉次数土壤全盐量稳定在 0.3%~0.5% 范围。20~40 cm 土壤含盐量经过连续灌溉 4 次后土壤全盐为

0.87%，再增加灌溉次数土壤全盐量稳定在0.4%~0.6%范围。40~60 cm 土壤含盐量经过4次灌水后，即从2.21%降低到1.16%，降低47.51%，第5次灌水后土壤全盐量为0.63%，再增加灌溉次数土壤全盐量稳定在0.6%~0.8%范围。

土体各层土壤全盐随灌溉次数增加而逐渐降低。表层(0~20 cm)土壤含盐量经第1次灌水后降低较多，第3次灌水到第4次灌水，每次较前次灌水土壤含盐量降低幅度保持30%左右。停止灌溉后的雨季土壤含盐量略有增加，20~40 cm 土层、40~60 cm 土层的土壤含盐量也有相同趋势，7月监测的土壤含盐量分别为0.83、0.83、1.21。第2年春天0~60 cm 土壤含盐量均降到0.35%~0.50%范围。

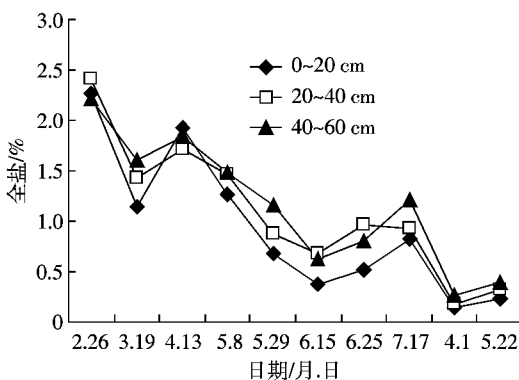


图7 淡水灌溉后粘质滨海盐土土壤全盐变化

Figure 7 Changes of soil salt content in clay coastal solonchak soil after irrigating fresh water repeatedly

(2) 土壤pH的变化动态

表层(0~20 cm)、20~40 cm、40~60 cm 3层土壤的pH第1次灌水后分别由7.60、7.68、7.70增加到8.39、8.19、8.21，参见图8，以后逐渐降低至第4次灌

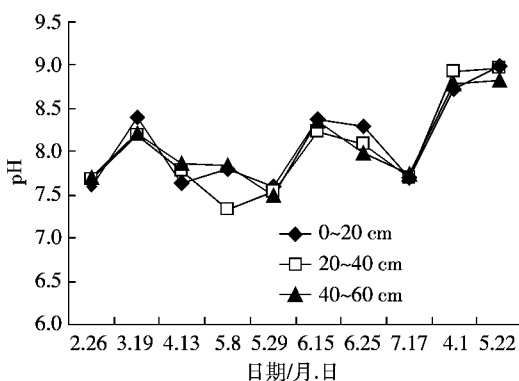


图8 淡水灌溉后粘质滨海盐土土壤pH变化

Figure 8 Changes of soil pH value in clay coastal solonchak soil after irrigating fresh water repeatedly

水后的7.59、7.53、7.49。

3层土壤经过连续4次灌水和雨季土壤pH变化在7.5~8.5之间，第2年春天灌水土壤pH上升至9并稳定在9左右。

2.3 灌溉微咸水后土壤脱盐动态

2.3.1 土壤全盐的变化动态

中壤质土经灌水后第7次监测0~20 cm、20~40 cm、40~60 cm 土层的土壤含盐量分别由3.26%、1.06%、1.52%降低为0.258%、0.222%、0.259%，灌水3次后0~20 cm、20~40 cm、40~60 cm 土层的土壤含盐量就分别降低到0.73%、0.50%、0.64%，接近大多数绿化植物可耐受的土壤含盐量范围，大多数绿化植物的耐盐能力在低于0.5%的范围。参见图9。

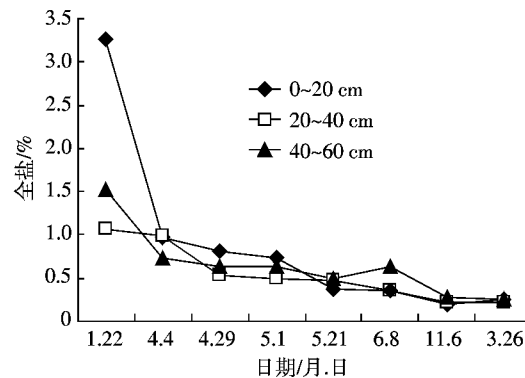


图9 微咸水灌溉后中壤质滨海盐土土壤全盐变化

Figure 9 Changes of soil salt content in medium loamy coastal solonchak soil after irrigating brackish water repeatedly

2.3.2 土壤pH的变化动态

灌水后第7次(11月6日)监测0~20 cm、20~40 cm、40~60 cm 土层的土壤pH分别由8.20、8.57、8.07提高到9.03、9.04、8.95，灌水3次后0~20 cm、20~40 cm、40~60 cm 土层的土壤pH变化不大，第4次灌水后土壤pH开始提高，至第2年3月浇水后土壤pH已经分别增加到9.03、9.04、8.95。参见图10。

3 结论

(1)灌溉水均能够降低土壤的含盐量，灌溉等量的微咸水降盐速度较快，灌溉淡水土壤含盐量是逐渐降低的，连续灌溉4次后，淡水、中水、微咸水灌溉的表层土壤含盐量分别为0.66%、0.30%、0.37%。

(2)同样灌溉淡水的情况下，中壤质、粘土、重壤质土的降盐速度顺序为中壤质土、重壤质土、粘土，粘质土壤的各层土壤含盐量因灌溉逐渐降低，而中壤质土、重壤质土在初期灌溉时，土壤含盐量降低迅速，以

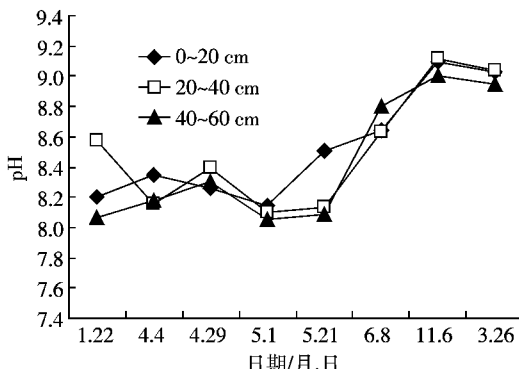


图 10 微咸水灌溉后中壤质滨海盐土土壤 pH 变化

Figure 10 Changes of soil pH value in medium loamy coastal solonchak soil after irrigating brackish water repeatedly

后降幅较小,表层土壤表现得尤为明显。

(3) 灌溉淡水、中水、微咸水的土壤 pH 总体趋势均有不同程度升高,而且灌溉次数越多土壤 pH 增加越多,灌溉 4 次前土壤 pH 随灌溉略有降低,第 5 次以后随灌溉土壤 pH 逐渐升高,灌溉微咸水使土壤 pH 升高的程度要小于灌溉淡水。

参考文献:

- [1] 谢承陶. 盐碱土改良原理与作物抗性[M]. 北京:中国农业科技出版社, 1992.
XIE Cheng-tao. Saline-alkali soil improvement principles and crop salt-resistant ability[M]. Beijing: China Agriculture Press, 1992.
- [2] 乔冬梅, 吴海卿, 齐学斌, 等. 不同潜水埋深条件下微咸水灌溉的水盐运移规律及模拟研究[J]. 水土保持学报, 2007, 21(6):7~10.
QIAO Dong-mei, WU Hai-qing, QI Xue-bin, et al. Simulation and movement regularity of soil water and soil salt by brackish water Irrigation under condition of different groundwater depth[J]. *Journal of Soil and water Conservation*, 2007, 21(6):7~10.
- [3] 杨树青, 杨金忠, 史海滨, 等. 干旱区微咸水灌溉的水-土环境效应预测研究[J]. 水力学报, 2008, 39(07):854~862.
YANG Shu-qing, YANG Jin-zhong, SHI Hai-bin, et al. Prediction of water-soil environment effect under brackish water irrigation in arid area[J]. *Journal of Hydraulic Engineering*, 2008, 39(07):854~862.
- [4] 李取生, 吴乐知, 刘长江. 中度苏打盐碱化土壤微咸水淋洗改良利用模式研究[J]. 干旱地区农业研究, 2006, 24(04):164~167.
LI Qu-sheng, WU Le-zhi, LIU Chang-jiang. Amelioration model of medium saline-alkali soil by leaching with mildly saline groundwater[J]. *Agricultural Research In The Arid Areas*, 2006, 24(04):164~167.
- [5] 韩振中, 闫冠宇, 刘云波, 等. 大型灌区续建配套与节水改造评价指标体系的研究[J]. 中国农村水利水电, 2002(7):47~50.
HAN Zen-zhong, YAN Guan-yu, LIU Yun-bo, et al. Research on the evaluation Index system for rehabilitation and water saving reform of large-sized irrigation district[J]. *China Rural Water and Hydropower*, 2002(7):47~50.
- [6] James C Thomas, Richard H White, Jonathan T Vorheis, et al. Environmental impact of irrigating turf with type I recycled water[J]. *Agron J*, 2006, 98:951~961.
- [7] Husein A Ajwa, Thomas J Trout. Polyacrylamide and water quality effects on infiltration in sandy loam soils [J]. *Soil Sci Soc Am J*, 2006, 70: 643~650.
- [8] 张余良, 潘洁, 邵玉翠, 等. 农业节水技术的研究现状与发展[J]. 天津农业科学, 2004, 10(1):33~37.
ZHANG Yu-liang, PAN Jie, SHAO Yu-cui, et al. Present condition and development of water-saving techniques of agriculture[J]. *Tianjin Agricultural Sciences*, 2004, 10(1):33~37.
- [9] 张余良, 邵玉翠. 长期灌溉微咸水的土壤安全性[J]. 城市环境与城市生态, 2004, 17(1):22~25.
ZHANG Yu-liang, SHAO Yu-cui. Soil safety of long term brackish water irrigation[J]. *Urban Environment & Urban Ecology*, 2004, 17(1): 22~25.
- [10] 张余良, 邵玉翠. 灌溉微咸水土壤的改良技术 [J]. 天津农业科学, 2004, 10(4):47~50.
ZHANG Yu-liang, SHAO Yu-cui. Study on improved techniques of irrigated brackish water soil[J]. *Tianjin Agricultural Sciences*, 2004, 10(4):47~50.
- [11] 张余良, 陆文龙, 张伟, 等. 长期灌溉微咸水对耕地土壤理化性状的影响[J]. 农业环境科学学报, 2006, 25(4):969~974.
ZHANG Yu-liang, LU Wen-long, ZHANG Wei, et al. Effects of long term brackish water irrigation on characteristics of agrarian soil[J]. *Journal of Agro-Environment Science*, 2006, 25(4):969~974.
- [12] 张余良, 邵玉翠, 严晔端, 等. 微咸水灌溉农作物生长的改善技术研究[J]. 农业环境科学学报, 2006, 25(增):295~301.
ZHANG Yu-liang, SHAO Yu-cui, YAN Ye-duan, et al. Practices of improving brackish water irrigated crops growth[J]. *Journal of Agro-Environment Science*, 2006, 25(suppl):295~301.
- [13] 张征云, 孙贻超, 孙静, 等. 天津市土壤盐渍化现状与敏感性评价[J]. 农业环境科学学报, 2006, 25(4):954~958.
ZHANG Zheng-yun, SUN Yi-chao, SUN Jing, et al. GIS-based assessment on sensitivity to soil salinization in Tianjin[J]. *Journal of Agro-Environment Science*, 2006, 25(4):954~958.
- [14] 乔玉辉, 宇振荣. 灌溉对土壤盐分的影响及微咸水利用的模拟研究[J]. 生态学报, 2003, 23(10):2050~2056.
QIAO Yu-hui, YU Zhen-rong. Simulation study on the effects of irrigation on soil salt and saline water exploration[J]. *Acta Ecologica Sinica*, 2003, 23(10):2050~2056.
- [15] 乔玉辉, 宇振荣, 张银锁, 等. 微咸水灌溉对盐渍化地区冬小麦生长的影响和土壤环境效应[J]. 土壤肥料, 1999(4):11~14.
QIAO Yu-hui, YU Zhen-rong, ZHANG Yin-suo, et al. Effects of irrigation with light saline water on growth of winter wheat and soil environment in salinized regions[J]. *Soils and Fertilizers*, 1999(4):11~14.
- [16] 毛建华, 沈伟然. 天津滨海新区土壤盐碱与污染状况及土地利用的思考[J]. 天津农业科学, 2005, 11(4):15~18.
MAO Jian-hua, SHEN Wei-ran. Reflection of soil salination pollution research and land use of Binhai Area in Tianjin[J]. *Tianjin Agricultural Sciences*, 2005, 11(4):15~18.
- [17] 尹建道, 吴春森, 杨进军, 等. 天津市盐碱土面积考证及其动态分析[J]. 天津农业科学, 2006, 12(1):1~5.
YIN Jian-dao, WU Chun-sen, YANG Jin-jun, et al. Dynamic analysis and investigation of saline-alkali soil area in Tianjin[J]. *Tianjin Agricultural Sciences*, 2006, 12(1):1~5.